

### III-A169 小型精密三軸試験機を用いた CK<sub>0</sub>CU 下の粘性土のひずみ速度効果

防衛大学校 丸山 仁和・正垣 孝晴・茂籠 勇人・○白川 修治

## 1. はじめに

高さ  $h=35\text{mm}$ 、直径  $d=15\text{mm}$  の寸法の S 供試体に対し、静止土圧係数  $K_0$  を制御した三軸圧縮・伸張強度特性が測定できる三軸試験機を新しく開発した<sup>1)</sup>。そして、乱さない水戸粘土とその練り返し土の強度特性を検討した<sup>2)</sup>。本稿では、乱さない水戸粘土の CK<sub>0</sub>CU 下のひずみ速度効果が検討される。

## 2. 供試土と実験方法

供試土は、水戸市の沖積低地から採取した乱さない自然堆積土である。その指数的性質を表-1<sup>2)</sup>に示す。供試体の作成は、前報<sup>2)</sup>と同様に行った。 $K_0$  値の測定および  $K_0$  圧密後の圧縮試験は、JGS T526-1995<sup>3)</sup>に従い、前報<sup>2)</sup>と同様に行った。有効土被り圧  $\sigma'_{vo}$ に対する圧密圧力  $\sigma'_a$  の比は 1, 2, 3, 4 の 4 種類とした。また、圧縮時のひずみ速度  $\dot{\epsilon}$  は、圧密後の供試体高さに対して  $\dot{\epsilon}=1\%/\text{min}$ 、 $0.2\%/\text{min}$ 、 $0.05\%/\text{min}$  の 3 種類とした。

## 3. ひずみ速度が水戸粘土の強度特性に及ぼす影響

図-1 は有効応力経路である。各  $\sigma'_a/\sigma'_{vo}$  下の供試体において、供試体の初期状態の差に起因して  $K_0$  圧密後の応力状態が供試体によって幾分異なるものは、せん断開始時の応力状態と同じにして整理している。 $\sigma'_a/\sigma'_{vo}=1$  の供試体の有効応力経路は、過圧密土に特有の挙動を示し、他の  $\sigma'_a/\sigma'_{vo}>2$  の正規圧密状態の供試体においては、各  $\dot{\epsilon}$  の有効応力経路は  $\sigma'_a/\sigma'_{vo}$  値の違いによらず良い相似性を示している。そして、 $\dot{\epsilon}$  が大きくなると、有効応力経路は右側に膨み( $\sigma'_a/\sigma'_{vo}$ )<sub>max</sub> で定義した破壊点と原点を結ぶ破壊包絡線も下に位置している。 $\dot{\epsilon}$  が大きくなると供試体中央部の破壊領域で発生している間隙水圧  $u$  の migration の時間遅れに起因して、供試体下部で測定する  $u$  が小さくなり、その結果平均主応力  $p'$  を過大評価するためである。しかし、 $\dot{\epsilon}$  の差に起因する  $\phi'$  の差は、例えば、 $\dot{\epsilon}=1\%/\text{min}$  で  $\phi'=38^\circ$ 、 $\dot{\epsilon}=0.05\%/\text{min}$  で  $\phi'=40^\circ$  と小さい。練り返し試料に対する深草、四日市、ガル粘土の CICU 下の  $\phi'$  は、 $\dot{\epsilon}=(0.04\sim 1)\%$

表-1 供試土の指数的性質 (水戸 AT-2,  $z=-(10\sim 10.8)\text{m}$ )

$\sigma'_{vo}$ (kPa)	$w_n$ (%)	$w_L$ (%)	$I_p$ (%)	silt (%)	clay (%)
86	64.9	71.9	38.5	39.8	60.2

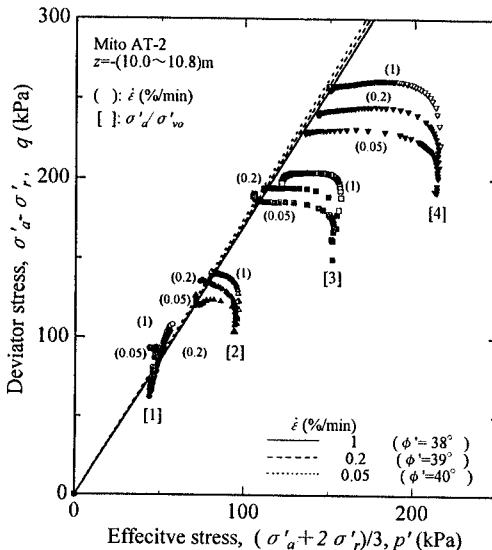
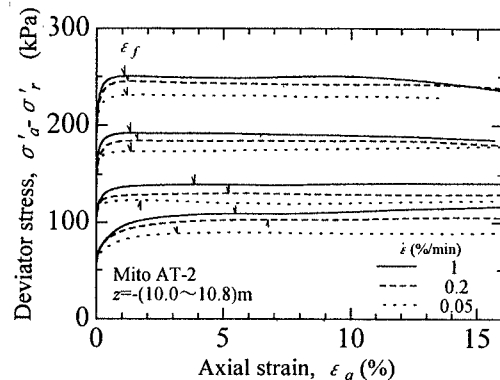


図-1 有効応力経路

図-2  $q$  と  $\epsilon_a$  の関係キーワード :  $K_0$  圧密、三軸圧縮試験、強度特性、ひずみ速度効果

〒239 横須賀市走水 1-10-20 TEL : 0468-41-3810(内線 2321) FAX : 0468-44-5913

/min の範囲で、それぞれ 21~29°、17~30°、25~27° であった<sup>4)</sup>。この場合の供試体寸法は、d35mm、h80mm であった。h35mm、d15mm と供試体寸法が小さい場合、 $\phi'$ に及ぼす  $\dot{\epsilon}$  効果は小さいことが分かる。

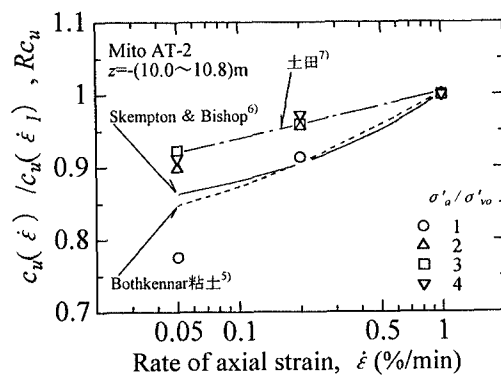
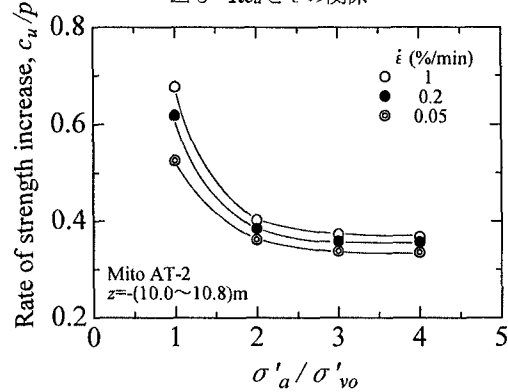
$K_0$  压密後の主応力差  $\sigma'_a - \sigma'_v (=q)$  と軸ひずみ  $\dot{\epsilon}_t$  の関係を図-2 に示す。図-2 は、 $\sigma'_a/\sigma'_{vo}$  値が 1, 2, 3, 4 の結果を  $\dot{\epsilon}$  によって曲線の種類を変えて整理している。図中、 $q_{max}$  に対する軸ひずみ  $\dot{\epsilon}_t$  に矢印を示している。 $\dot{\epsilon}$  効果に起因して、 $\dot{\epsilon}$  が大きくなると  $q_{max}$  値は同じ  $\sigma'_a/\sigma'_{vo}$  下で大きくなる。そして、同じ  $\dot{\epsilon}$  下で  $\sigma'_a/\sigma'_{vo}$  値が大きくなると  $q_{max}$  値は大きくなり、 $\dot{\epsilon}_t$  は小さくなる。

図-3 は、 $\dot{\epsilon} = 1\%/\text{min}$  の  $c_u(c_u(\dot{\epsilon}))$  に対する各  $\dot{\epsilon}$  下の  $c_u$  ( $=c_u(\dot{\epsilon})$ ) の比( $Rc_u$ )を  $\sigma'_a/\sigma'_{vo}$  によって記号を変えて  $\dot{\epsilon}$  に対してプロットしたものである。ここで、非排水強度  $c_u$  は、 $q_{max}/2$  としている。応力解放等に起因して過圧密状態にある  $\sigma'_a/\sigma'_{vo}=1$  の  $Rc_u$  は、 $\dot{\epsilon} = 0.05\%/\text{min}$  で 0.77、 $\dot{\epsilon} = 0.2\%/\text{min}$  で 0.91 と他のそれより小さい。しかし、正規圧密状態にある  $\sigma'_a/\sigma'_{vo} > 2$  の  $Rc_u$  値は、 $\dot{\epsilon} = 0.05\%/\text{min}$  で約 0.9、 $\dot{\epsilon} = 0.2\%/\text{min}$  で約 0.95 である。図-3 には、3  $\sigma'_{vo}$  下で等方圧密した乱さない Bothkennar 粘土<sup>5)</sup>、Boston Blue clay<sup>6)</sup> と  $I_p=40\sim70$  の我が国の港湾地域の粘土<sup>7)</sup>の結果を併せて示している。 $\dot{\epsilon}$  効果に及ぼす圧密方法の影響は今後検討を予定しているが、水戸粘土の正規圧密領域の  $\dot{\epsilon}$  効果は、Bothkennar や Boston Blue clay のそれより幾分小さく、我が国の粘土<sup>7)</sup>の結果とほぼ同様である。

図-4 は、 $c_u/p$  を  $\sigma'_a/\sigma'_{vo}$  値に対してプロットしたものである。ここで、 $p$  は  $\sigma'_a$  としている。 $\sigma'_a/\sigma'_{vo}$  値が大きくなると  $c_u/p$  値は小さくなり  $\sigma'_a/\sigma'_{vo} \div 3$  ではほぼ一定値となる。この傾向に  $\dot{\epsilon}$  の差は依存しないが、 $c_u/p$  値に及ぼす  $\dot{\epsilon}$  効果は、 $\sigma'_a/\sigma'_{vo}=1$  の過圧密状態で大きく、正規圧密状態で小さくなる。正規圧密状態下の  $c_u/p$  値は、 $\dot{\epsilon} = 1, 0.2, 0.05\%/\text{min}$  に対しそれぞれ 0.37, 0.36, 0.34 である。

#### 4. おわりに

$d15\text{mm}$ 、 $h35\text{mm}$  の S 供試体の場合、供試体下部で測定する  $u$  の migration のタイミングが小さいため、 $\phi'$  に及ぼす  $\dot{\epsilon}$  効果は極めて小さい。 $c_u$  や  $c_u/p$  に及ぼす  $\dot{\epsilon}$  効果は、他の粘土に対する同様な結果を蓄積して、設計結果に及ぼす感度分析の観点からの検討を予定している。

図-3  $Rc_u$  と  $\dot{\epsilon}$  の関係図-4  $c_u/p$  と  $\sigma'_a/\sigma'_{vo}$  の関係

#### 参考文献

- 1) 正垣ら：小型精密三軸試験機、土木学会関東支部、pp.354~355、1997.
- 2) 正垣ら：小型精密三軸試験機による粘性土の強度特性、第32回地盤工学研究発表会投稿中、1997.
- 3) 地盤工学会、土の  $K_0$  壓密非排水三軸圧縮試験方法 (JGS T526-1995)、土と基礎、Vol.43 No.9、pp.82~86、1995.
- 4) 安井ら：塑性の異なる飽和粘性土の CIUC における強度・変形特性、第21回土質工学研究発表会、pp.145~146、1986.
- 5) 田中ら：Drammen 粘土、Bothkennar 粘土と有明粘土の工学的特性の比較、第40回地盤工学シンポジウム、pp.153~160、1995.
- 6) Skempton,A.W. and Bishop,A.W.:Soils, chapter 10, of Building Materials, North Holland Publ.Co., pp.417-482, 1954.
- 7) 土田：三軸試験による自然粘性土地盤の強度決定法、港湾技研資料、No.688、pp.155~159、1990.